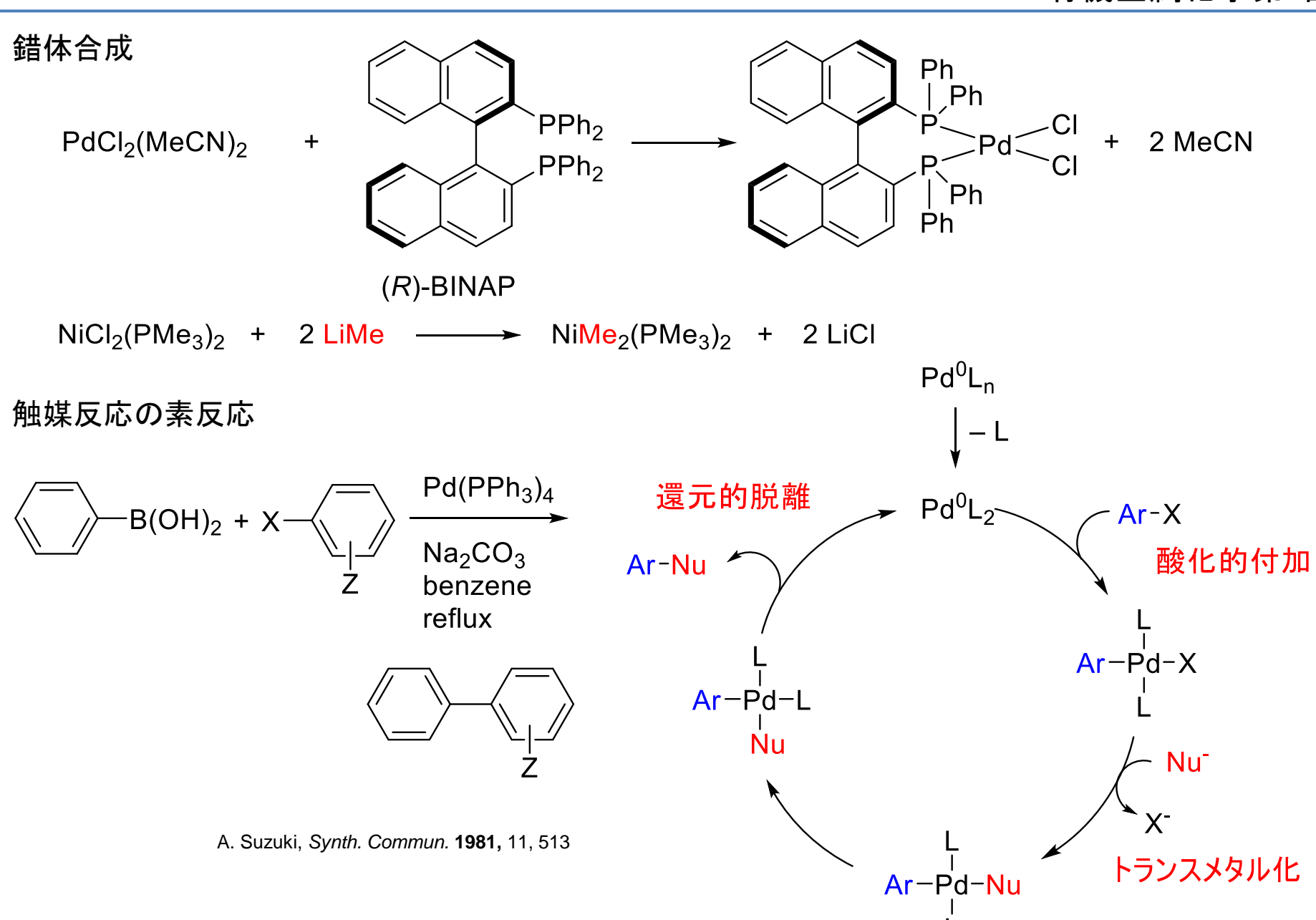
## 配位子交換反応 Ligand Substitution Reaction



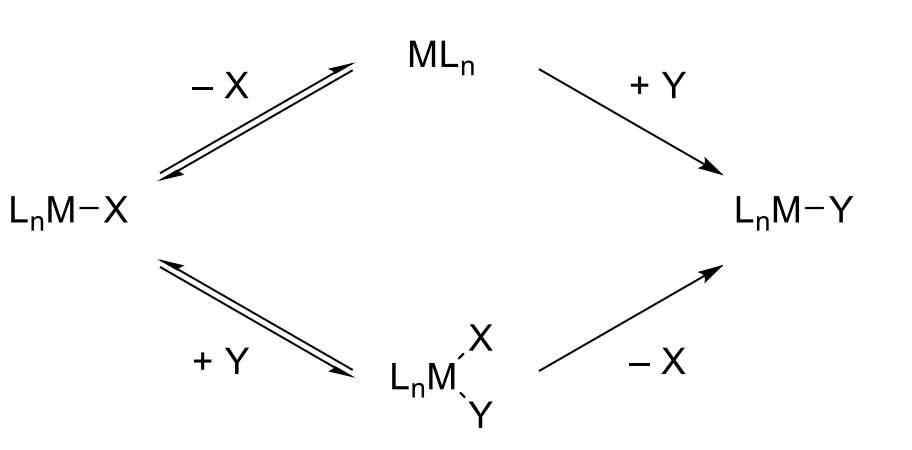
### 分類

#### $M-X + Y \rightarrow M-Y + X$

• 解離型機構 (D)

S<sub>N</sub>1機構に類似。 例)Ni(CO)₄とホスフィンの交換

• 会合型機構 (A)



 $S_N 2$ 機構に類似。(有機反応では遷移状態だが、金属では中間体)。例)16電子錯体で見られる。例えば $Pt(PEt_3)_2Cl_2$ のClの配位子交換

• Interchange機構 (I)

会合型機構と解離型機構の中間

会合的交替反応I<sub>A</sub>: 進入配位子と金属の間で完全な結合を形成した中間体はない 解離的交替反応I<sub>D</sub>: 結合の切断が優勢だが、進入配位子と金属に結合が出来かかっている 電荷を有する錯体で観察される。

カチオン性錯体とアニオン性配位子との間でイオン対形成。遭遇錯体(encounter complex)中性錯体ではほとんど見られない。

- BDE (bond dissociation energy): M-Y > M-Xの時に熱力学的有利。
- 基本的に、解離する配位子の安定性に依存する(求核置換反応との類似性)。
- 解離する配位子が高い塩基性を示すときは進行しにくい。例)ヒドリドやアルキルなど。
- 配位結合している配位子やハライドなどの弱塩基性の配位子は進行しやすい。

### 分類

	会合型機構	解離型機構
錯体		
速度論	進入配位子に1次	進入配位子に0次
活性化パラメーター		
電子効果	配位子:より塩基性の高い進入配位子 で起こりやすい 金属:より求電子的な金属で起こりやす い	金属:電子豊富でも電子不足 でも起こりうる
(脱離)配位子の影響	影響は小さい	配位子の結合エネルギーに 大きく依存
立体効果		

- 17電子錯体は19電子錯体を形成するが、実験的データは会合型機構を支持している。
- 一般的に会合型機構は2次、解離型機構は1次速度論に従う。
- 会合型機構:2分子の会合であるので大きな負の活性化エントロピー∆S<sup>‡</sup>。
- 解離型機構:遷移状態は金属-配位子の結合長の変化であるので小さな正の△S<sup>‡</sup>。

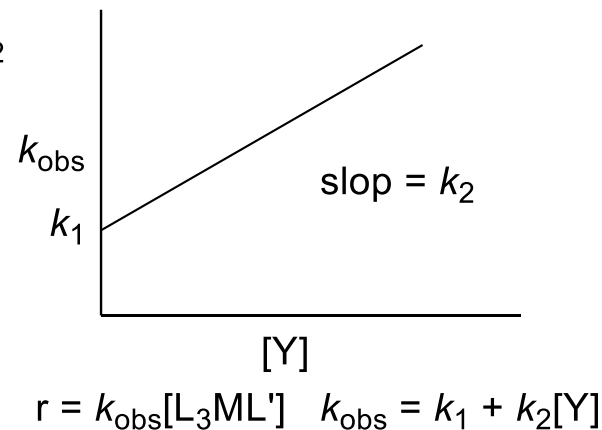
### 16電子、17電子錯体

平面四角型16電子Pt(II)錯体・・・典型的な会合型機構の例

溶媒が関与しない場合と溶媒の配位の後に配位子交換が起こる場合の2通り。

溶媒が関与したときの速度式

k₁は溶媒の関与する項、k₂は溶媒が関与しない項 溶媒の配位が律速・・・アミンの濃度に依存しない



# 会合型機構の立体化学

会合型機構:

$$\begin{bmatrix}
L \\
-M-X
\end{bmatrix}
\longrightarrow
\begin{bmatrix}
L \\
-M-X
\end{bmatrix}
\longrightarrow
\begin{bmatrix}
L \\
-M-Y
\end{bmatrix}$$

TBP中間体の寿命が長い場合:

5 配位 d<sup>8</sup> 錯体で進行しやすい (例: Fe(CO)<sub>5</sub>)。

$$e \xrightarrow{a} e \xrightarrow{a} e \xrightarrow{e} a = e \xrightarrow{e} a = e \xrightarrow{cO} CO$$
 $OC \xrightarrow{CO} CO$ 
 $OC \xrightarrow{CO} CO$ 

Fe-CO結合が切れずに交換

5 配位中間体 (TBP) は平面四角型 d 錯体のシス-トランスの異性化反応を促進する。

# 会合型機構:配位子、金属の影響

### 配位子の影響

白金:

### 中心金属の影響

PEt<sub>3</sub>
 PEt<sub>3</sub>

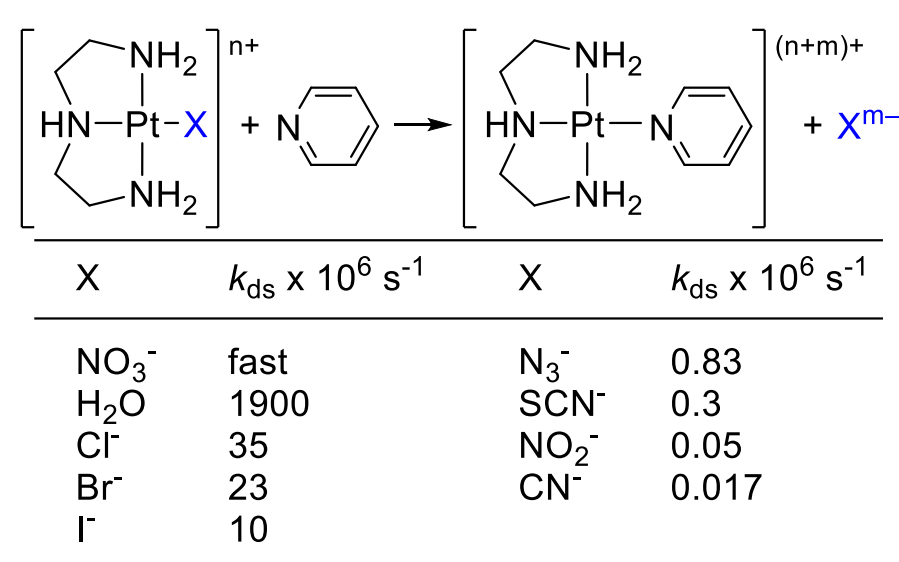
 M
 
$$k_1$$
 (min-1)

 Ni
 200

 Pd
 35

 Pt
  $4 \times 10^{-4}$ 

### 解離する配位子の影響



\* H<sup>-</sup>, CH<sub>3</sub>-などの強塩基性の配位子 配位子交換しにくい

- Ni > Pd > Pt (3d > 4d > 5d)3d金属:配位子場分裂Eが小さい
- 18電子錯体(5配位TBP中間体)のとりやすさを反映。
- ・ M-Lの結合力・・・5配位中間体からのM-L結合の 切断が律速、不可逆の場合

### トランス効果

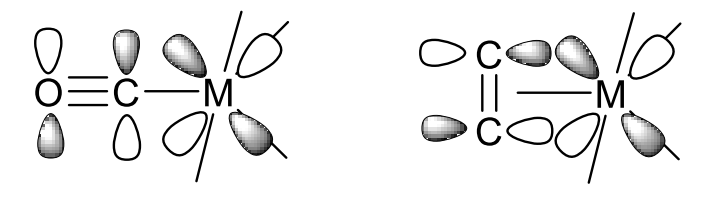
トランス効果 (trans effect): 置換速度に及ぼす配位子の動的効果。 CO, CN<sup>-</sup>, alkene > PR<sub>3</sub>, H<sup>-</sup> > CH<sub>3</sub><sup>-</sup> > Ph<sup>-</sup>, I<sup>-</sup> > Br<sup>-</sup>, Cl<sup>-</sup> > NH<sub>3</sub>, > H<sub>2</sub>O

強いトランス効果を示す配位子:

ヒドリド、アルキル配位子:

PEt<sub>3</sub> X 
$$\xrightarrow{\text{PEt}_3}$$
 X  $\xrightarrow{\text{Nobs}}$  (s<sup>-1</sup>) t (°C) X  $\xrightarrow{\text{PEt}_3}$  X  $\xrightarrow{\text{PEt}_3}$  Me<sup>-</sup> 4.7 x 10<sup>-2</sup> 0 Me<sup>-</sup> 6.0 x 10<sup>-4</sup> 25 Ci<sup>-</sup> 3.5 x 10<sup>-6</sup> 25

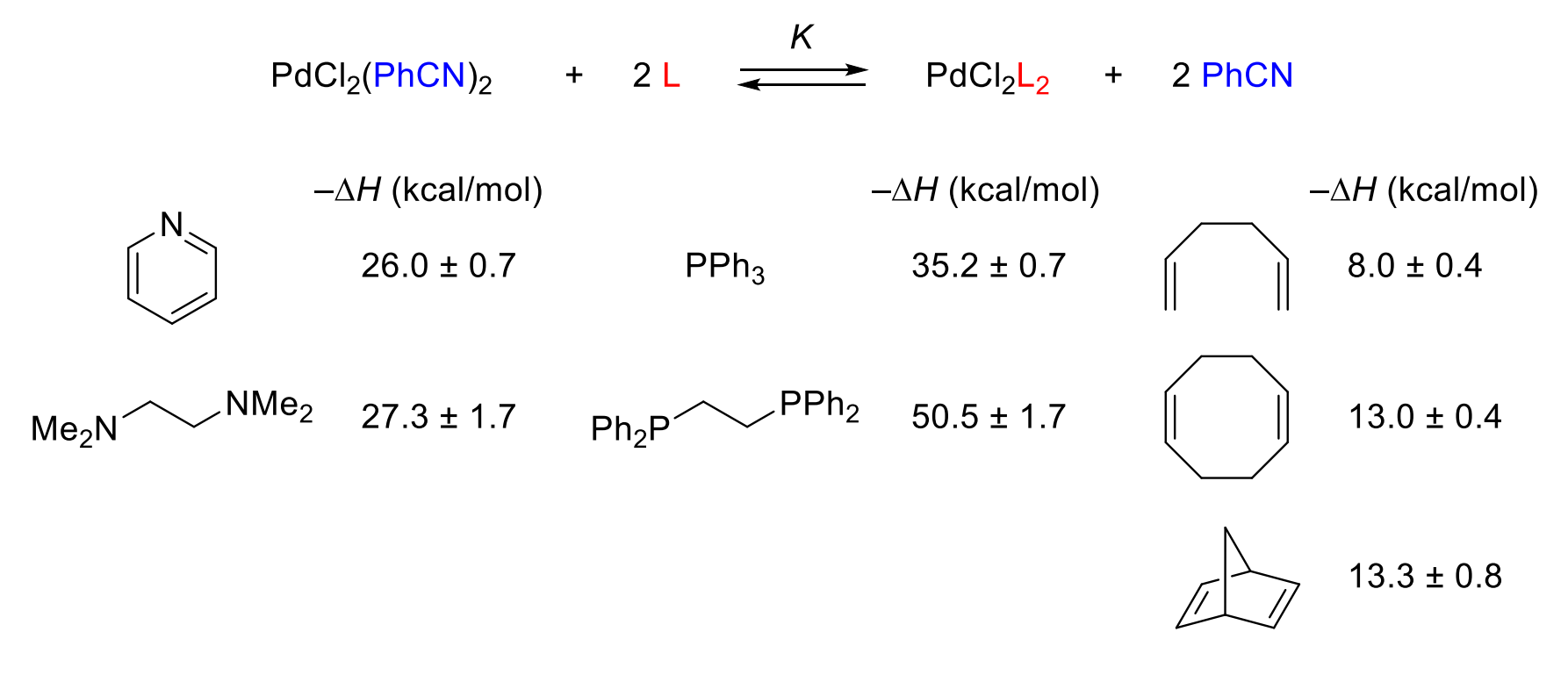
オレフィン、CO:



トランス影響 (trans influence): トランス位の配位子によってM-X結合がどの程度弱められるかの静的効果(X線構造解析、IRの振動数、NMRの結合定数)

 $H^{-}$ ,  $CH_{3}^{-}$ ,  $Ph^{-} > PR_{3} > CN^{-} > CO > I^{-} > Br^{-} > CI^{-} > NH_{3} > H_{2}O$ 

### 多座配位子

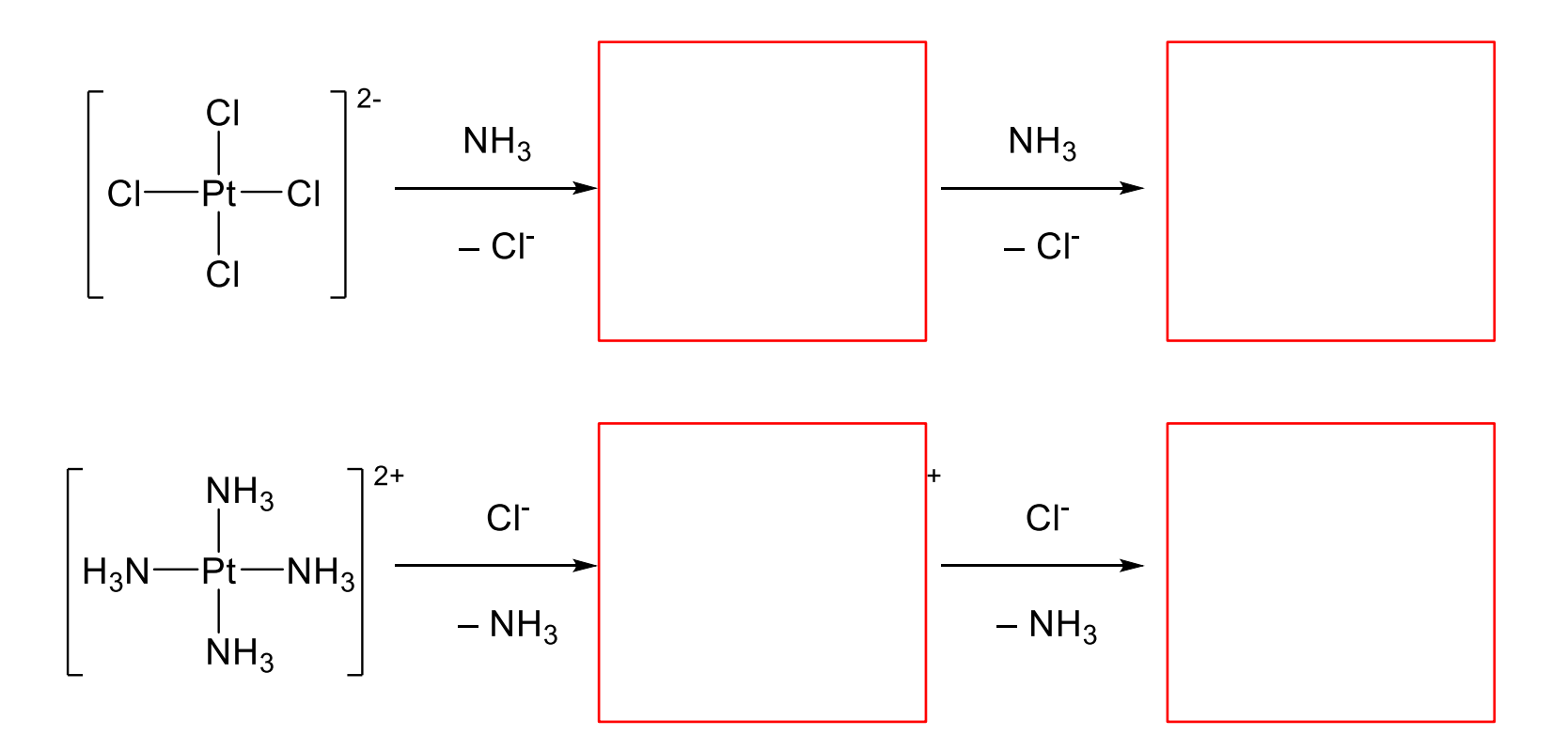


W. Partenheimer, Inorg. Chem. 1972, 11, 743

ホスフィン: 二座配位子 > 単座配位子

Pd(II)への配位力: 三級ホスフィン > アミン > ジエン

### クイズ

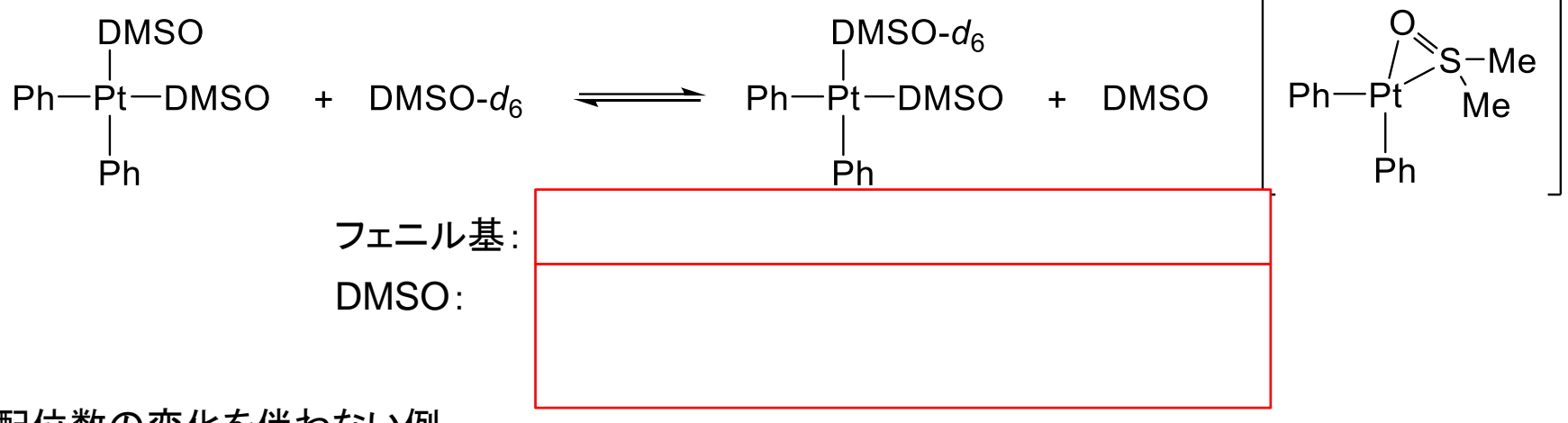


#### トランス効果

CO, CN<sup>-</sup>, alkene > PR<sub>3</sub>, H<sup>-</sup> > CH<sub>3</sub><sup>-</sup> > Ph<sup>-</sup>, I<sup>-</sup> > Br<sup>-</sup>, Cl<sup>-</sup> > NH<sub>3</sub>, > H<sub>2</sub>O

### 平面四角型錯体での解離型機構

配位力が弱い配位子と強いトランス効果を持つ配位子



### 17電子錯体の配位子置換反応

- 一般的に、17電子錯体の置換反応の速度は18電子錯体に比べて10<sup>3</sup>~10<sup>7</sup>程度高い。
- V(CO)<sub>6</sub>の反応速度はCr(CO)<sub>6</sub>の約10<sup>10</sup>倍。
- ・ V(CO)<sub>6</sub>とPPh<sub>3</sub>の交換反応は-70℃、90分で完結。V(CO)<sub>6</sub>-はPPh<sub>3</sub>の置換反応に不活性。

$$V(CO)_6$$
 + PPh<sub>3</sub>  $\xrightarrow{25 \, ^{\circ}\text{C}}$   $V(CO)_5(PPh_3)$  + CO  $\Delta S^{\ddagger} = -28 \text{ eu}$ 

V(CO)<sub>6</sub>とPPh<sub>3</sub>との交換反応

- ・ 2次の反応速度式
- 負の大きな活性化エントロピー (△S<sup>‡</sup> = -28 ± 2 eu)
  - ・・・ホスフィンの塩基性が反応速度に影響 → 会合型機構を支持。 J. Am. Chem. Soc. 1984, 106, 71

19電子種

M-L半結合を形成

い軌道に入る

不対電子は配位子の成分が大き

$$(OC)_5Re-Re(CO)_5$$
  $\xrightarrow{hv}$  ・  $Re(CO)_5$   $\xrightarrow{CCI_4}$  Re $(CO)_5CI$  Re $(CO)_5CI$  Re $(CO)_4(PPh_3)CI$ の比は CO濃度に依存しない Below COの解離が律速ではない Below COの解離が律速ではない ・  $Re(CO)_5(PPh_3)$  ・  $Re(CO)_4(PPh_3)$  Re $(CO)_4(PPh_3)$  Re $(CO)_4(PPh_3)$ 

### 18電子錯体の配位子交換反応

$$L_nM-X \xrightarrow{k_1} L_nM + X \xrightarrow{Y} L_nM-Y$$

- 解離型機構で進行
- 16電子錯体による会合型機構に比べると遅い。
   例)Rh(acac)(ethylene)錯体 (16 電子) とethyleneの交換速度: 10<sup>4</sup> s<sup>-1</sup> CpRh(ethylene)<sub>2</sub> 錯体 (18 電子)とethylene の交換速度: 10<sup>-10</sup> s<sup>-1</sup>
- 速度式

rate = 
$$-\frac{d[L_nM-X]}{dt} = k_1[L_nM-X] - k_{-1}[L_nM][X]$$
  $\left(\frac{d[L_nM]}{dt}\right) = k_1[L_nM-X] - k_{-1}[L_nM][X] - k_2[L_nM][Y] = 0$   $= \frac{k_1k_2[L_nM-X][Y]}{k_{-1}[X] + k_2[Y]}$   $k_2[Y] >> k_{-1}[X]$   $\frac{k_{-1}}{k_2} < 1$  Xの解離が律速段階  $\frac{k_{-1}}{k_2} > 1$  Yの配位が律速段階

Ni(CO)<sub>4</sub>の例

$$\begin{array}{c}
CO \\
OC^{-Ni} CO \\
CO
\end{array}$$

$$\begin{array}{c}
L \\
OC^{-Ni} CO \\
CO
\end{array}$$

$$\begin{array}{c}
CO \\
CO
\end{array}$$

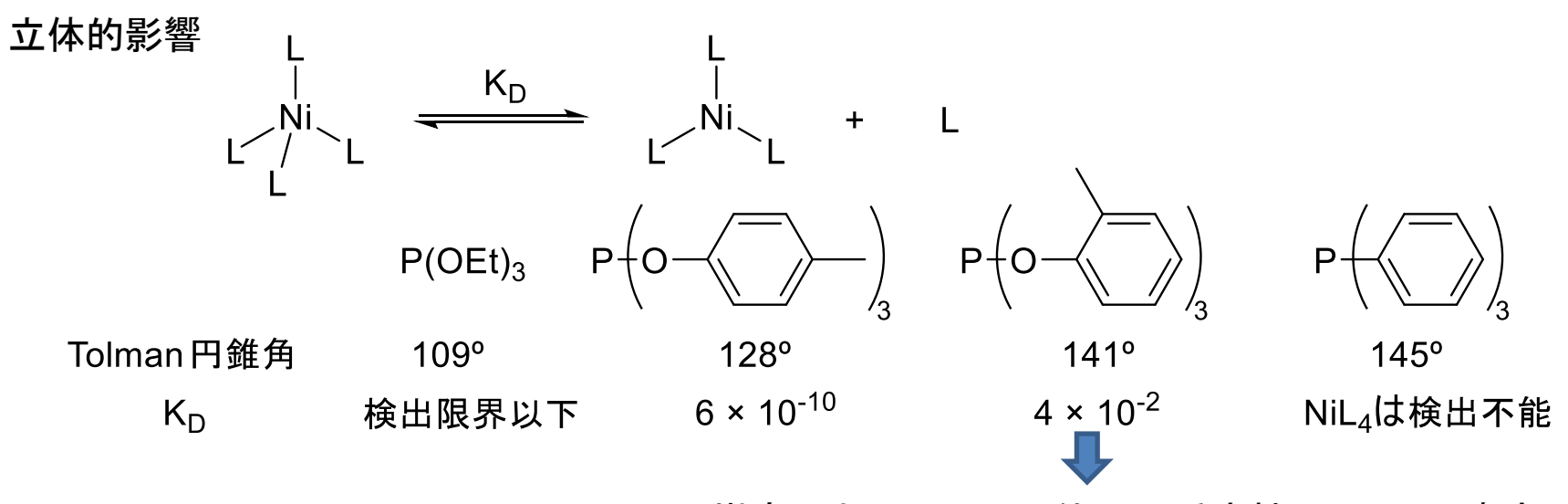
$$\begin{array}{c}
Fast \\
Ni(CO)_3(solvent)
\end{array}$$

- 錯体に1次で、Lに無関係・・・COの解離が律速
- ・ ΔH<sup>‡</sup>: Ni-COのBDE (25 kcal/mol)に近い
- ・ △S‡: 小さな正の値。M-Lの伸長による回転自由度の増加

活性化エンタルピー > 配位子の脱離エンタルピー 配位子交換の活性化エンタルピー: 20~25 kcal/mol CpRh(ethylene)<sub>2</sub> (BED: 31 kcal/mol) Cr(CO)<sub>6</sub> (BED: 37 ± 2 kcal/mol)

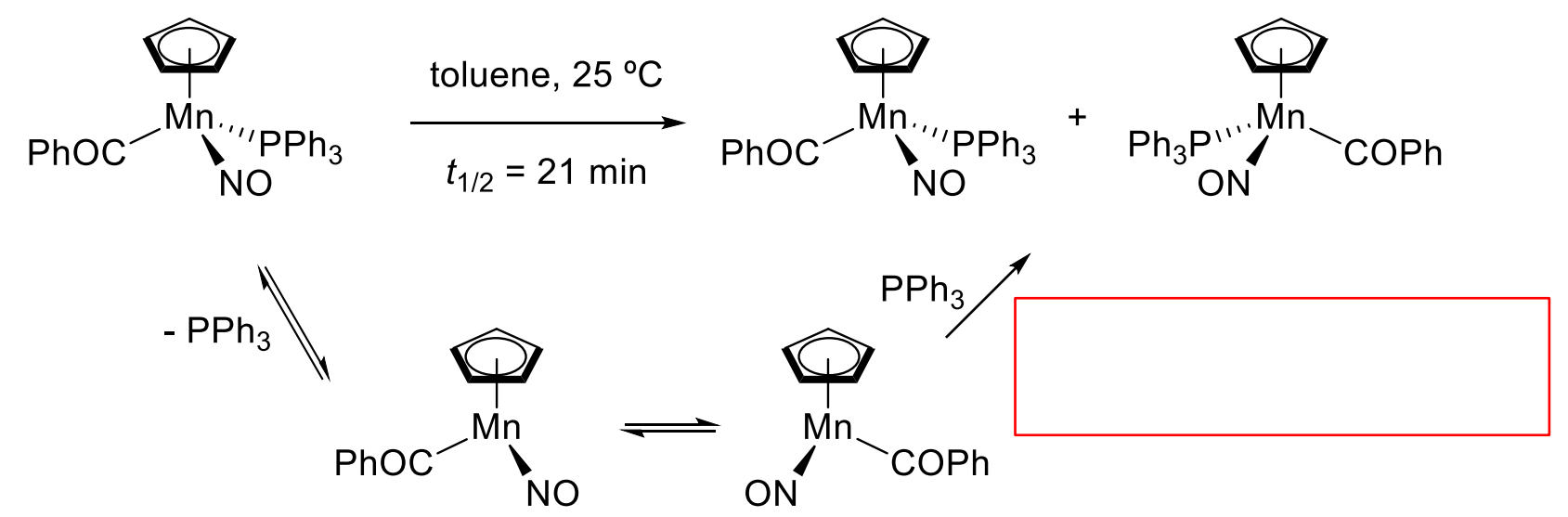
・・・ 置換反応に高温が必要 >100 °C (Rh), 80~140 °C (Cr)

### 立体的影響と立体化学



嵩高いホスファイト配位子:π受容性・・・Ni(0)の安定化 Niによるヒドロシアン化反応に利用

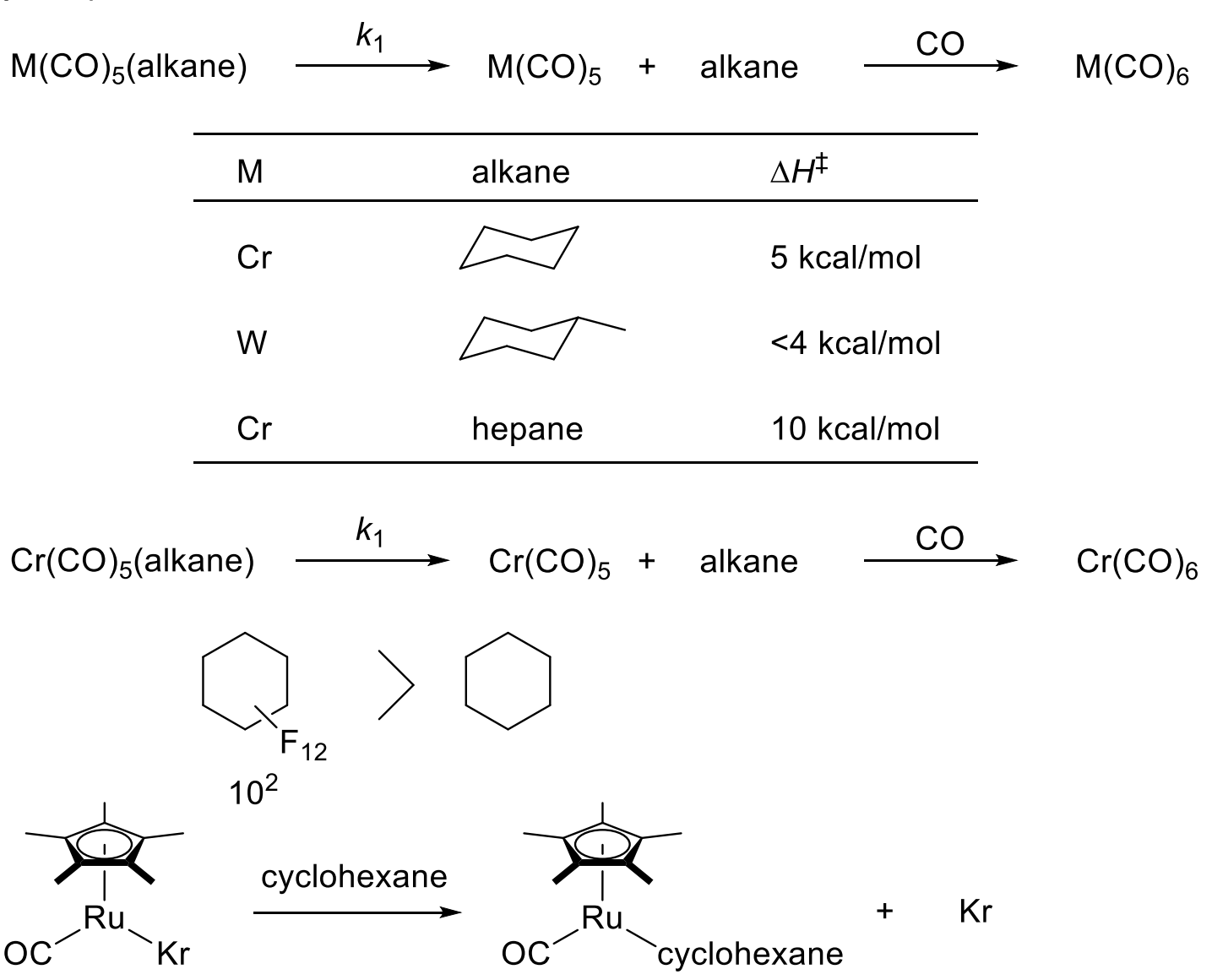
#### 立体化学



Brunner, H. Adv. Organomet. Chem. 1980, 18, 151

## アルカン錯体の配位子交換反応

#### 解離型機構で進行



R. G. Bergman, C. B. Moore, J. Am. Chem. Soc. 1989, 111, 8288

# 配位子の影響

W(CO)<sub>5</sub>(OAc)<sup>-</sup>と<sup>13</sup>COとの交換反応 W(CO)<sub>5</sub>(OAc)<sup>-</sup>はW(CO)<sub>6</sub>よりも反応が速い。 アセテート配位子による二座配位の効果によりcis位の交換反応が進行する。

Mn(CO)<sub>5</sub>Brとホスフィンの交換反応 cis位のCOとの交換がtrans位よりも10倍程度速い。

#### cis位配位子の影響

 $NO_3^- > OAc^-$ ,  $HCO_2^-$ ,  $RCO^-$ ,  $> NHR^- > OR^- > Cl^- > Br^- > l^- > carbene > PPh<sub>3</sub> > H<sup>-</sup>, CO$ 

- キレート配位子、π-供与性の配位子は16電子中間体を安定化。
- キレート配位子 (NO<sub>3</sub>-, OAc-, HCO<sub>2</sub>-) は単座から二座に変化し空き配位座を埋める。
- ・ 16電子TBP中間体では、弱い $\sigma$ -供与、弱い $\pi$ -受容性配位子がbasal平面にある場合の方が安定。(逆の場合は不安定化する)

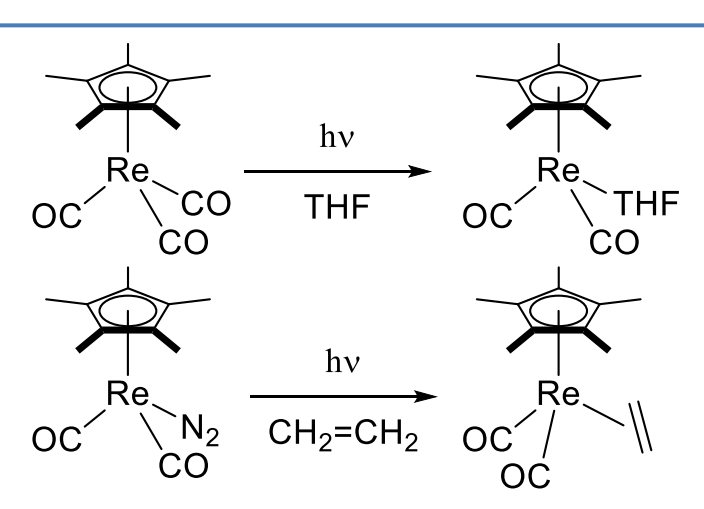
例) CI配位子:弱いσ-供与性・・・ハライドのシス位の方が、トランス位よりも置換活性。 CO配位子:強いπ-受容性・・・COのトランス位の方が、シス位よりも置換活性。

## 配位子交換反応の促進

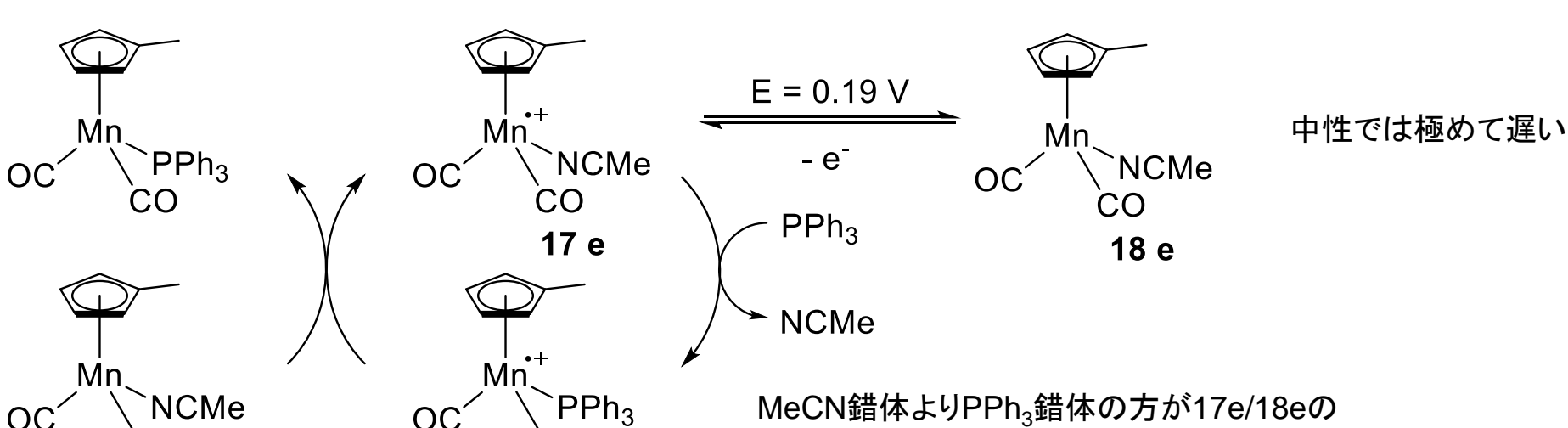
#### UV照射下

HRe(CO)<sub>5</sub> + PBu<sub>3</sub> 
$$\xrightarrow{hv}$$
 HRe(CO)<sub>4</sub>(PBu<sub>3</sub>) + CO 20 min

ラジカル開始剤によりヒ ドリドの引き抜きが起こり、 $Re(CO)_5$  (17e)が低 濃度で生成し、置換反 応が起こる場合もある



#### 電子移動



酸化によるCO脱離

Fe(CO)<sub>5</sub> + Me<sub>3</sub>N-O 
$$\longrightarrow$$
 THF, -30 °C

$$Me_3N^+$$
 $CO)_4Fe$ 

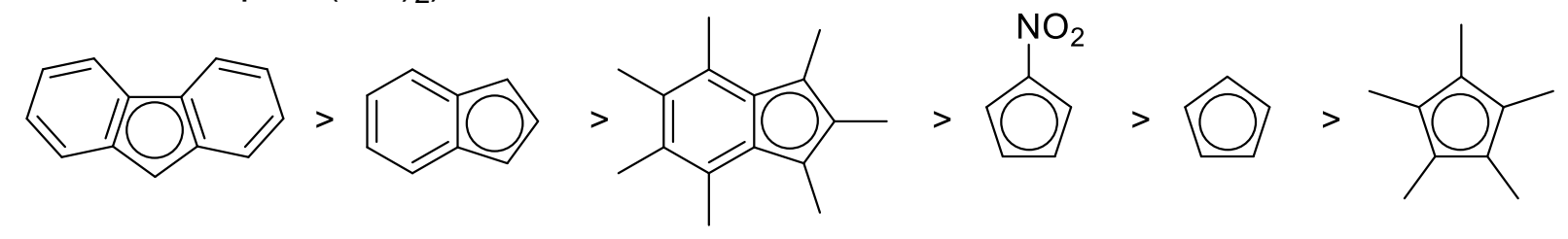
酸化還元対が正電位側

J. K. Kochi, *J. Am. Chem. Soc.* **1983**, *105*, 61

# 環スリップ Ring Slip

16e η<sup>3</sup>-cyclopentadienyl

### 構造の効果(Cp'Co(CO)<sub>2</sub>)



η3-配位ではアニオンがより局在化

メチル基の電子供与と立体障害、負電荷の安定化 芳香族性

### 還元的脱離との関係(トランス-シス異性化)

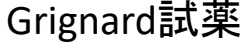
F. Ozawa, K. Kurihara, T. Yamamoto, A. Yamamoto, J. Organomet. Chem. 1985, 279, 233

### トランスメタル化反応

#### 金属間での有機基の移動を伴う配位子交換反応

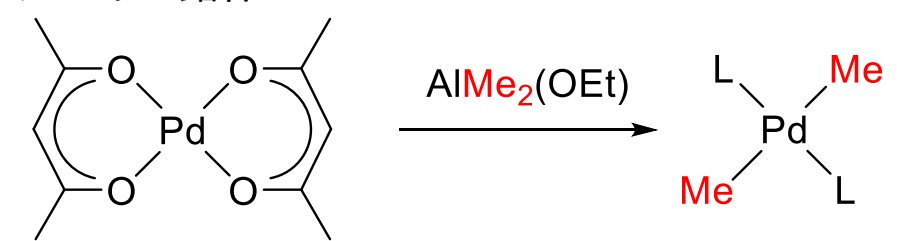
$$L_nM-X + M'-R \longrightarrow L_nM-R + M'-X$$

M'-R: Li, Mg, Zn, Sn, Si, B などの有機(金属)化合物

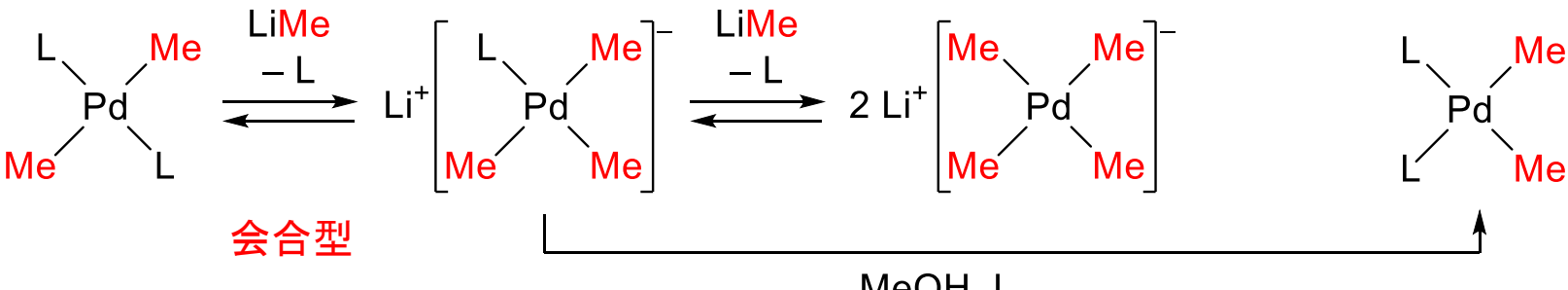




#### ジアルキル錯体



A. Yamamoto, Bull. Chem. Soc. Jpn. 1981, 54, 1868.

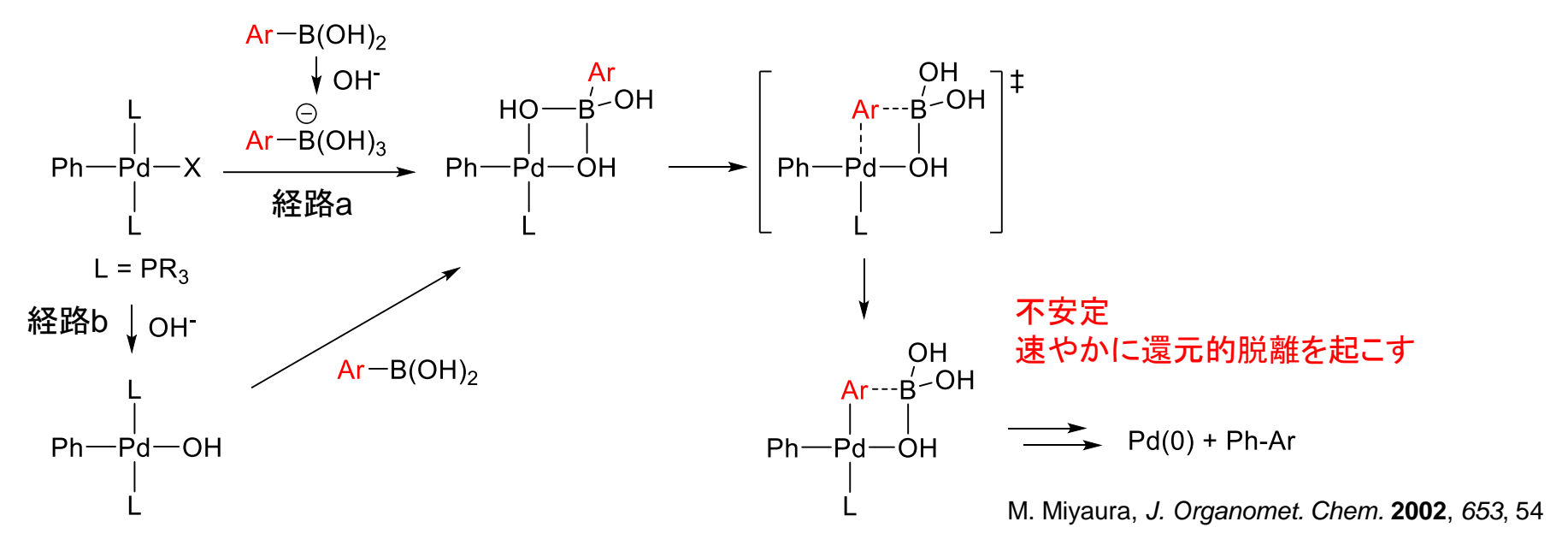


立体構造が保持される

A. Yamamoto, Organometallics 1989, 8, 180

## トランスメタル化反応

#### ホウ素試薬(求核性が低い)



経路a: [ArB(OR)<sub>3</sub>]-

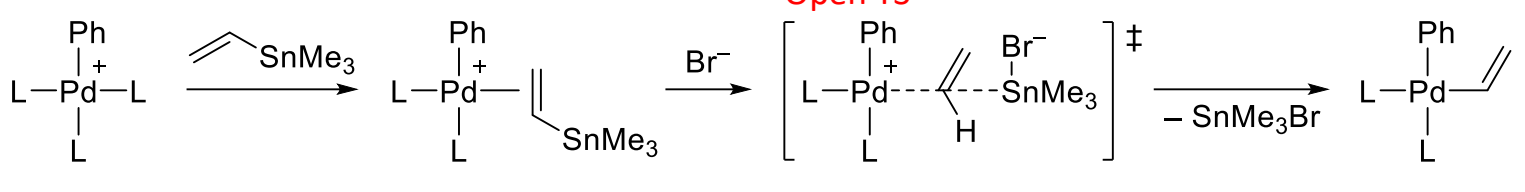
Y. Yamamoto, M. Miyaura, Angew. Chem. Int. Ed. 2008, 47, 928

ArB(OH)<sub>2</sub> + OH<sup>-</sup>の触媒系 経路bの可能性

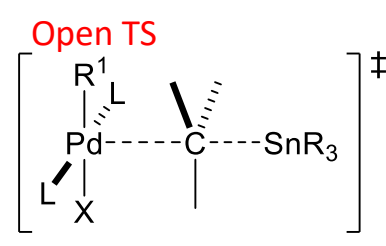
M. Miyaura, J. Organomet. Chem. 2002, 653, 54

### トランスメタル化反応

#### スズ試薬



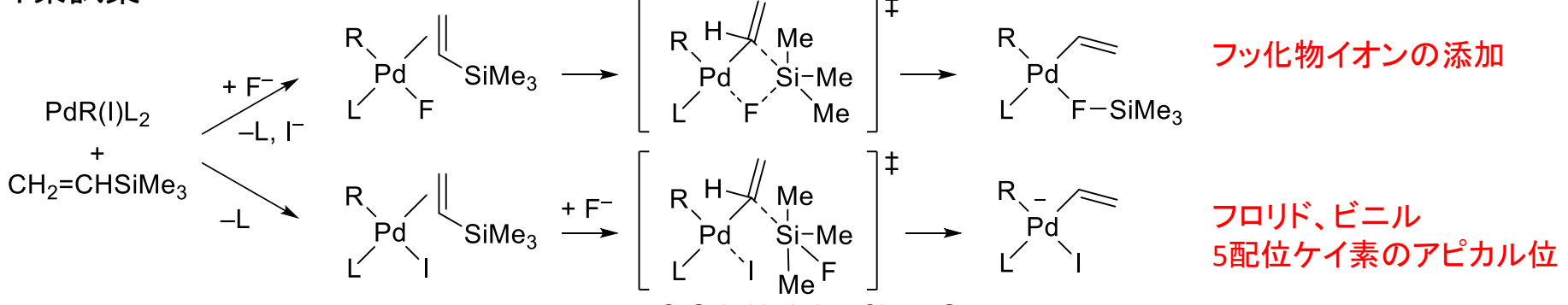




キラル化合物の立体反転

P. Espinet, J. Am. Chem. Soc. 1998, 120, 8978, J. Am. Chem. Soc. 2000, 122, 11771, J. Am. Chem. Soc. 2006, 128, 14571

#### ケイ素試薬



S. Sakaki, J. Am. Chem. Soc. 2008, 130, 12975

F<sub>4</sub>Si Ph F Open TS: THF, low temp.

Open TS: HMPA-THF, high temp.

T. Hiyama, J. Am. Chem. Soc. 1990, 112, 7793

# 不斉配位子置換反応

91%

H. Nishiyama, Chem. Asian J. 2008, 3, 1284